

会報

2022・7

第 92 号

Japan Association of Reference Materials

目次

1. 令和3年度 標準物質協議会 講演会について	1
2. 最近のトピックスから	33
3. 編集後記	34

令和3年度 標準物質協議会 講演会について

標準物質協議会 事務局

令和4年3月24日（木）14時から令和3年度 標準物質協議会講演会が開催されました。新型コロナウイルス感染症の影響を受け、対面での開催ができなかったため、WEB（Zoom）による開催となりました。WEB接続のトラブル等も心配しましたが、特に大きな問題もなく、参加者数49名（講師含む）での講演会となり、盛会のうちに終えることができました。

講演会は、開会にあたっての千葉光一会長の挨拶で始まり、2題の講演がありました。本号では、講演会に参加できなかった会員の皆様にも情報を提供することを目的に、講演者のご許可のもと、当日の資料を掲載しました。当日は、2題で2時間程度の講演時間となりましたが、活発な質疑応答があり、大変有意義な講演会と

なりました。

講演プログラムは、「講演1 海洋における数十年スケールの長期変化の観測とそれに必要な計測標準：この間と進歩と得られた結果について」と題して、国立研究開発法人 海洋研究開発機構 地球環境部門 招聘上席研究員（筑波大学 生命環境系 客員教授）青山道夫 様、「講演2 大気中温室効果ガスの計測から紐解くグローバルな循環」と題して国立研究開発法人 国立環境研究所 地球システム領域 地球環境研究センター 大気・海洋モニタリング推進室長 町田敏暢 様にそれぞれご講演いただきました。本号では、誌面の都合上、青山道夫様の資料を掲載します。町田敏暢様の資料は、次号に掲載予定です。

海洋における数十年スケールの長期変化の観測とそれに必要な計測標準:この間と進歩と得られた結果について

青山 道夫
JAMSTEC/筑波大学

Ver. 4.2: 23 March 2022

1

講演の概要

- ・観測されて良く分かっている長期変動: 気温、表層水温、降水量、二酸化炭素濃度
- ・最近わかつってきた海洋深層での水温上昇
- ・海洋表層での生物地球化学が関係する(栄養塩、酸素量、動物プランクトン)変動: それなりにわかつていること
- ・海洋内部(深層も含めて)では依然として良く分かっていないので、栄養塩標準物質を作成した話と、それを使って得られた変動の実態の最新の成果

2

はじめに

地球環境の変化(気候変動、生態系の変化)

自然の変動

人類活動により引き起こされた変化

変化の実態を把握して変化の方向を予測する。

➡ 人類活動による環境悪化の場合、対策が必要不可欠

➡ そのためには、得られた変化(あるいは変化していない)の大きさが正しく評価されているかどうかが重要となる

3

環境変動(気候変動)の検出

人類は長期の観測で、過去に起ってきた変動を検出してきた。

例えば、地表気温、降水量、海水温の変化

これらは人類活動により引き起こされたと考えられる変化

大気中の二酸化炭素濃度

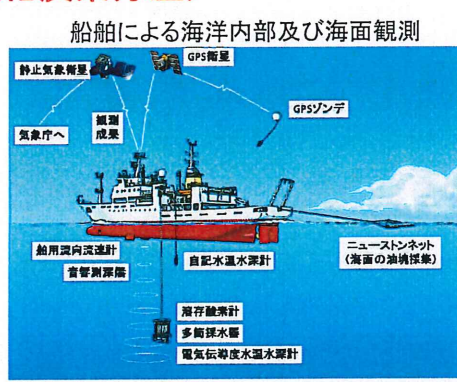
(上層大気、海水中の二酸化炭素分圧)

気温と降水量の観測



アメダス四要素観測所

<https://www.jma.go.jp/jma/kishou/know/amedas/kaisetsu.html>



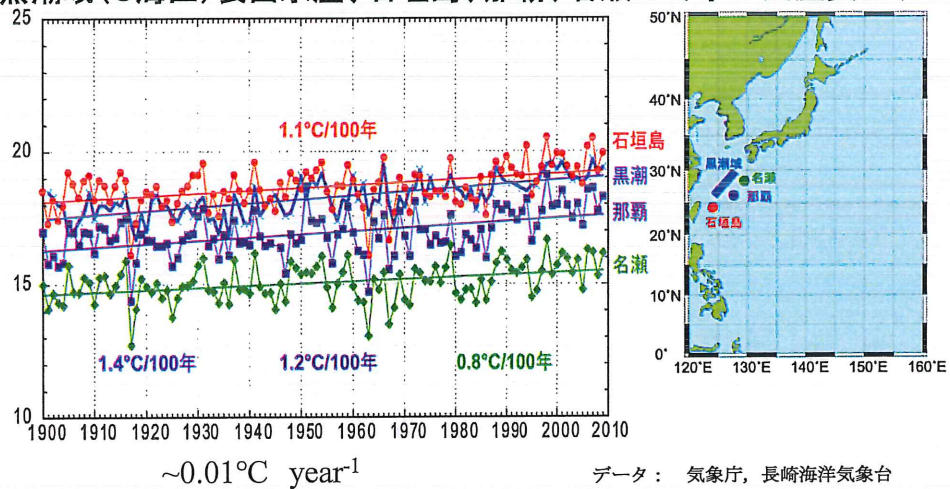
https://www.data.jma.go.jp/gmd/kaiyou/db/vessel_obs/description/obssystem.html

4

変化が見えている例：

海水温・地表気温の変化

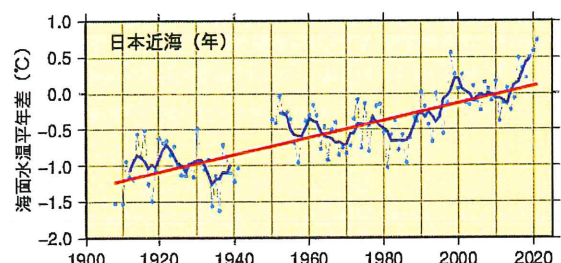
東シナ海黒潮域(C海区)表面水温、石垣島、那覇、名瀬の冬季の気温変化(1900-2010)



データ： 気象庁、長崎海洋気象台

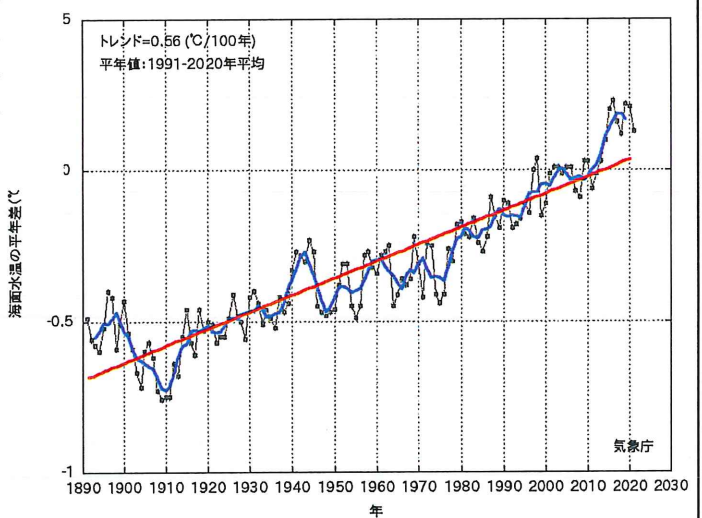
5

海水温の変化：日本近海(左)と全球(右) 2020年まで



日本近海の全海域平均海面水温(年平均)の平年差の推移

https://www.data.jma.go.jp/gmd/kaiyou/data/shindan/a_1/japan_warm/japan_warm.html



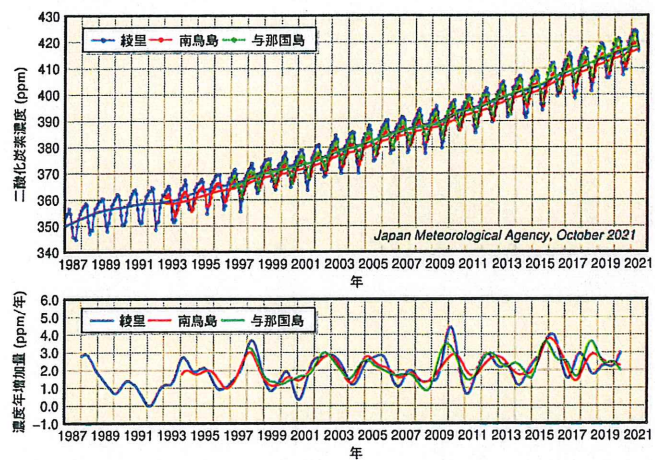
年平均海面水温（全球平均）の平年差の推移

https://www.data.jma.go.jp/gmd/kaiyou/data/shindan/a_1/glb_warm/glb_warm.html

6

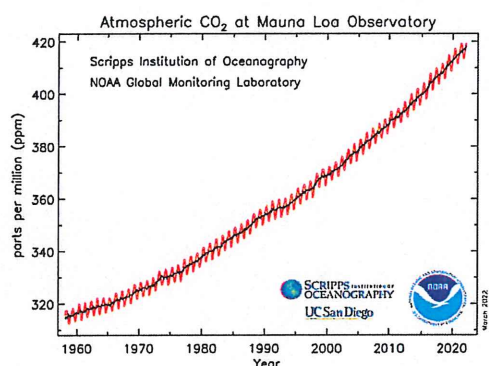
同じく変化が見えている例：大気中二酸化炭素濃度

気象庁の観測点における二酸化炭素濃度及び年增加量の経年変化



気象庁 https://ds.data.jma.go.jp/ghg/kanshi/ghgp/co2_trend.html

地球全体の二酸化炭素の経年変化



青山が気象大学校学生のころ330ppmと教わった400ppmを超えたのは数年まえ(2015年あたり)

<https://gml.noaa.gov/ccgg/trends/>

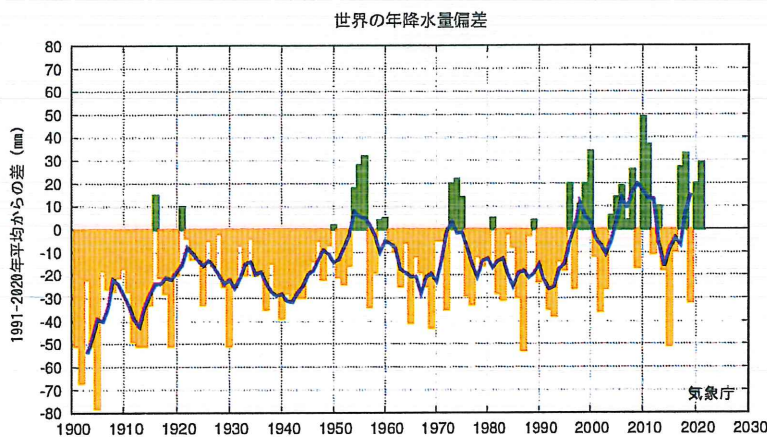
7

温度上昇や大気中二酸化炭素濃度上昇が有意に検出出来ている理由：あおやまの意見

- 1, 変動の大きさが測定の不確かさに比べて相対的に大きい
- 2, 議論(研究)する対象とする項目の全球にわたる測定の比較可能性が、数多くの観測項目の中では良く確保されている。
- 3, 多くの人や組織が測定していて、測定数が多い

8

降水量の現状は？(2011年講演時には変動の傾向はまだ明瞭でなかった。水循環が強化されることはモデルを使った研究で明らかにされてはいた。)



北半球では、1950年代、2000年代半ば以降に降水量の多い時期が現れています。

https://www.data.jma.go.jp/cpdinfo/temp/an_wld_r.html

9

気候変動に関する政府間パネル(IPCC)第6次評価報告書AR6第1作業部会報告書(自然科学的根拠)における主な評価

- ・人間の影響が大気、海洋及び陸域を温暖化させてきたことには疑う余地がない。
- ・2019年の大気中の温室効果ガス濃度は、CO₂:410 ppm(工業化前より約47%高い)
- ・CO₂の累積排出量とそれらが引き起こす地球温暖化との間には、ほぼ線形の関係がある。
- ・陸域と海洋のCO₂吸收源は、過去60年にわたり、年間の人為起源CO₂排出量の56%を除去

https://www.jma.go.jp/jma/press/2108/09a/ipcc_ar6_wg1_a2.pdf

10

気候変動に関する政府間パネル(IPCC)第6次評価報告書AR6第1作業部会報告書(自然科学的根拠)における主な評価:

- ・世界平均海面水位は1901～2018年の間に約0.20m上昇
- ・海洋深部の温暖化と氷床の融解が続いたため、海面水位は数百年から数千年もの間上昇し続け、上昇した状態が更に数千年にわたり継続
- ・1970年代以降、海洋上層(水深0～700m)が温暖化(人間の影響が主要な駆動要因)
- ・大西洋子午面循環(AMOC)は、全てのシナリオで、21世紀を通じて弱まるが、停止には至らない。
- ・人為起源のCO₂排出は、世界の外洋の海面付近における海洋酸性化の主要な駆動要因
- ・多くの海洋上層で、20世紀半ば以降、貧酸素化が進行(人間の影響が寄与)

https://www.jma.go.jp/jma/press/2108/09a/ipcc_ar6_wg1_a2.pdf

11

気候変動に関する政府間パネル(IPCC)第6次評価報告書AR6第1作業部会報告書(自然科学的根拠)における主な評価:降水について

- ・陸域の平均降水量は1950年以降増加しており、1980年代以降はその速度が上昇
- ・陸域のほとんどで1950年代以降に大雨の頻度と強度が増加(人為起源の気候変動が主要な駆動要因)
- ・世界規模では、地球温暖化が1°C進行するごとに、極端な日降水量の強度が約7%上昇

https://www.jma.go.jp/jma/press/2108/09a/ipcc_ar6_wg1_a2.pdf

12

これから海洋表層および深海でのこれまでのIPCCにあまり書かれていない(書けていない)変動の話:水温と栄養塩を中心にして

深層の水温変化(2019年IPCC AR6では記述されている)

同一ラボ「長崎海洋気象台」でできるだけ比較可能性を確保してきた観測データを解析して得た結果の話:あおやまの論文の紹介

栄養塩標準の作成、確立、認証に参加

栄養塩CRM/RMを使った海洋での長期観測実施、そのデータの解析

13

海洋での観測項目とSIとの関係

項目	SI	定義	単位
水温	温度	ITS-90	°C
圧力	質量、長さ、時間		Pa
塩分	物質量、質量	TEOS-10	g kg^{-1}
酸素	物質量、質量		mol kg^{-1}
栄養塩	物質量、質量		mol kg^{-1}
全炭酸	物質量、質量		mol kg^{-1}

生物の観測 目視、個数の勘定、種類の判定等

ITS-90 : 1990年国際温度目盛り

TEOS-10 : 2010年海水の状態方程式

塩分はIAPSO 標準海水(認証ではない)を使っている。

14

栄養塩、炭酸系、溶存酸素量の標準

研究項目	標準物質	認証標準物質	比較可能性	備考
栄養塩	○	○	取れるよう になった	無毒標準
pH	○	出来ていない	○	無毒標準として作成予定
溶存酸素量	上手くいって いない		KIO3溶液	無毒標準として作成予定
全炭酸	○	○	○	現在は毒物使用、 無毒標準へ変更す るのが良い
アルカリ度	○	○	○	現在は毒物使用、 無毒標準へ変更す るのが良い

これらの解説は日本海洋学会がだしている海洋観測ガイドライン(日英)のVolume1にあおやまが書いたものがある。<https://kaiyo-gakkai.jp/jos/guide/download>

15

The screenshot shows a computer monitor displaying the official website of the Japanese Society of Oceanography (日本海洋学会). The URL in the address bar is <https://kaiyo-gakkai.jp/jos/en/guide/download>. The page is titled "Guideline of Ocean Observations". On the left, there is a sidebar with links to "Contents Download" and several document options: "Guideline of Ocean Observations (4th edition, April 2020)", "Citation Information (RIS file)", "All Volume 4th edition (ISBN 978-4-908553-67-7)", and "Chapter separated volumes, 4th edition (ISBN 978-4-908553-68-4)". Below these are download buttons for "download selected pdf" and individual chapters. The right side of the page contains a detailed table of contents for the 4th edition, listing chapters from 1 to 5, along with their respective authors and topics. The overall layout is clean and professional, typical of scientific organization websites.

ここに入力して検索

16

良い栄養塩データを必要とする科学的背景：
書いたけど無くなったOcean Obs19 Community
white paper より

物質循環研究(窒素、リン、珪素の循環、総量、分布：
学問の基本)

海洋における栄養塩変動の研究(沿岸での富栄養化、
外洋での表層への栄養塩供給の減少の検知)

貧酸素化と栄養塩変動との関係(社会的影響の大きさ)

海洋内部の人為起源CO₂蓄積量の正確な推定

海洋大循環研究のトレーサーとしての利用(海洋大循
環像の修正)

17

温度上昇や大気中二酸化炭素濃度上昇に比べて、海洋深層での栄養塩変動の研究が進んでいない理由：あおやまの見立て

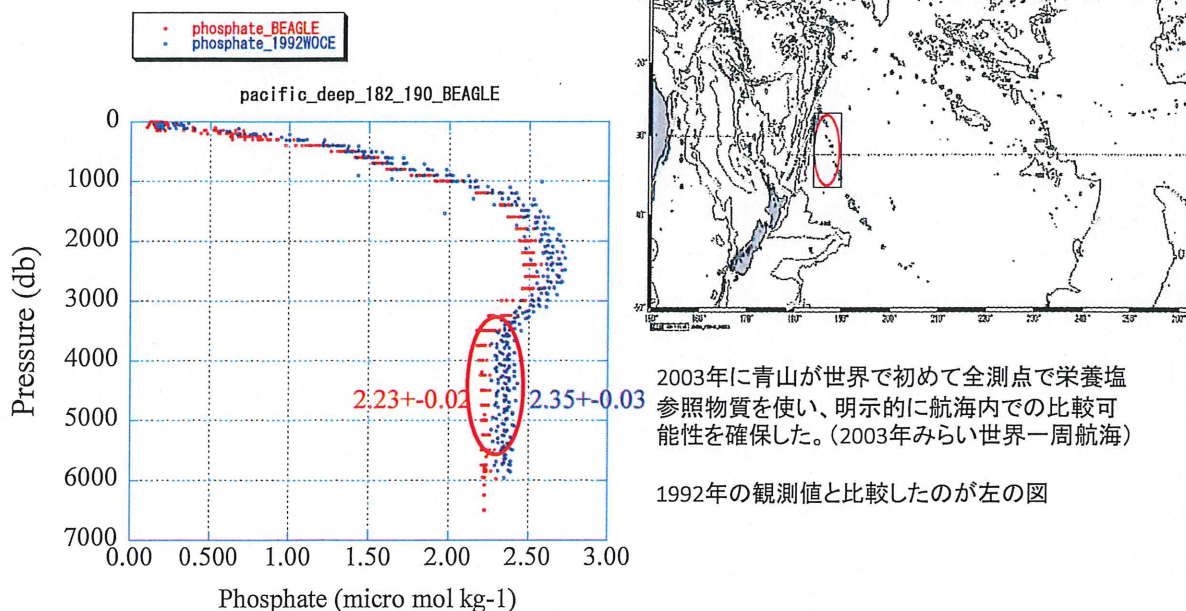
1, 変動の大きさが測定の不確かさに比べて相対的に小さい。これは将来もしばらくは変わらない。

2, 議論(研究)する対象とする項目の全球にわたる測定の比較可能性が、数多くの観測項目の中では確保されていなかった。現在は改善されつつあるが、変化を議論するには時間方向のデータの蓄積が必要。

3, 測定する(測定できる)研究者や組織が少なく、測定数が少ない。栄養塩認証標準の普及で改善されつつある。

18

A comparison between WOCE in 1992 and CLIVAR in 2003



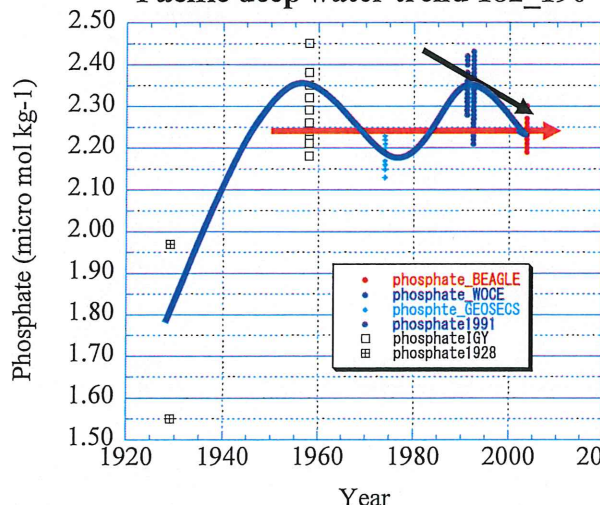
19

Back to 1928 and IGY, GEOSECS

We can not judge a trend of nutrients concentration

What is a true trend?

Pacific deep water trend 182_190



ある狭い海域では従来見られていた濃度のばらつきは実態でなく、分析の不確かさや測点間の比較可能性が小さいことに起因していたことが明らかとなった。

また、過去データを並べて変動を議論することが出来ないことも明らかとなつた。

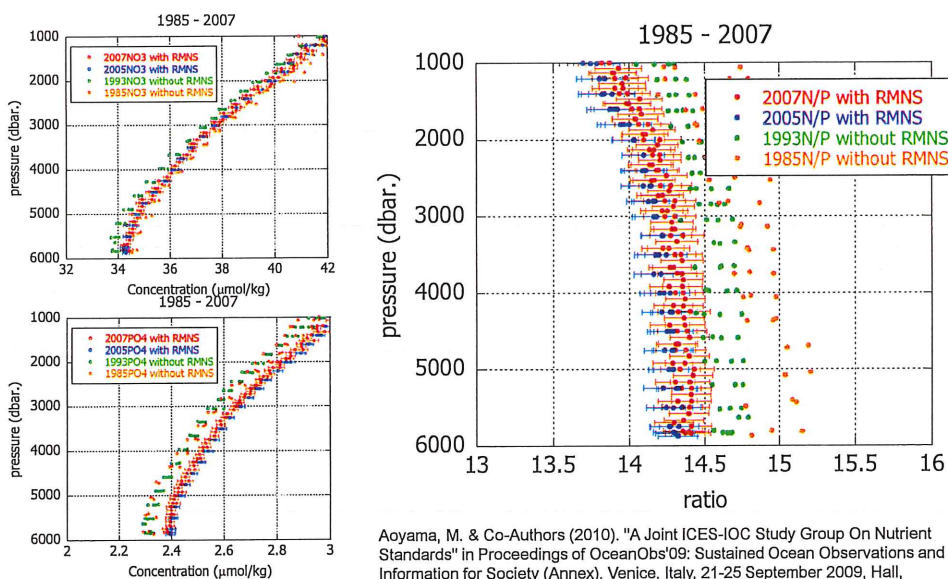
20

栄養塩標準がなかったために:IPCC AR4

栄養塩データの国際的なコンパラビリティ(比較可能性)を確保するための努力がつづけられてきていたが(IOC-IAEA-UNEP, 1991, 1992)、**栄養塩データの国際的なコンパラビリティ(比較可能性)がまだ確立していない**ために現時点での海洋内部での栄養塩変動が化学分析精度の不足に起因するものであるか、自然の変動または人類活動に起因するものかを見極めるのが困難な状態であった(IPCC2007 AR4 レポート)。

21

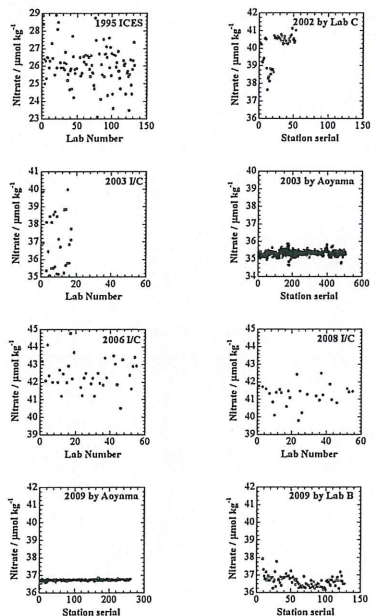
Past and present status of comparability: crossing at P-03 and P-14 1980s-2000s 標準物質を使えば変動の研究ができる！



Aoyama, M. & Co-Authors (2010). "A Joint ICES-IOC Study Group On Nutrient Standards" in Proceedings of OceanObs'09: Sustained Ocean Observations and Information for Society (Annex), Venice, Italy, 21-25 September 2009, Hall, J., Harrison, D.E. & Stammer, D., Eds., ESA Publication WPP-306.

22

栄養塩測定の過去から現在 どうすれば向上するか? 自覚から標準の使用へ



今や、ある研究機関のパフォーマンスを向上させるためには、その研究機関が低品質のデータを出していることに世界中の仲間が気がついているという「自覚」以上に強い動機付けはないのでは、と我々は推測している。
(ICES, 1977)

栄養塩標準を使えば、他の航海のデータとのリンクができ、外部とのコンパラビリティが向上し、航海中の内部(測点間)のコンパラビリティも向上することを明確に示している。
(Aoyama@IOC, 2009)



IOC/INF-1260
Paris, 11 May 2009
English only*

INTERGOVERNMENTAL OCEANOGRAPHIC COMMISSION
(of UNESCO)

INFORMATION DOCUMENT

A JOINT ICES-IOC
STUDY GROUP ON NUTRIENT STANDARDS (SGONS)

Summary. This document proposes a joint ICES-IOC study group to develop international standards for nutrients to establish comparability and traceability of nutrient data in the world oceans.

2014 IPCC AR5

IPCC AR5 Chapter 3 Ocean Observations Subsection 3.7

DRAFT: PLEASE DO NOT CITE

Lead Author: Richard Feely

Contributing Authors: Michio Aoyama, Nick Bates, Robert Byrne, Melchor González-Dávila, John Dore, Nicolas Gruber, David Hydes, David Karl, Samar Khatiwala, Joan Kleypas, Kitack Lee, Calvin Maita, Ian O'Brien, James Orr, Lothar Stramma, Taro Takahashi, Toste Tanhua, and Richard Wanninkhof

3.7 Ocean Biogeochemical Changes, Including Anthropogenic Ocean Acidification

3.7.1 Ocean Carbon

The reservoir of inorganic carbon in the ocean is roughly 60 times that of the atmosphere. Thus, even small changes in the ocean reservoir may have a significant impact on the atmospheric concentration of CO₂. The fraction of dissolved inorganic carbon (DIC) in the ocean due to increased atmospheric CO₂ is approximately 25%. Current direct biological techniques exist to infer CO₂ from observations of interior ocean properties. Currently, approximately 25% of the CO₂ released to the atmosphere by burning of fossil fuel and land-use change enters the ocean across the air-sea interface. The global ocean inventory of C_{org} (excluding marginal seas) in 2008 is estimated via a Green's function approach to be 140 ± 25 PgC (Khattab et al 2009). The contribution of anthropogenic CO₂ to C_{org} was 2.3 ± 0.4 PgC yr⁻¹, which is 2.2 ± 0.4 PgC yr⁻¹ as estimated on the basis of Δ_{air}CO₂ measurements from 1993 to 2003 (Metzl & Keeling 2006) and 2.0 ± 0.1 Pg C yr⁻¹ from surface water CO₂; measurements normalized to the year 2000 (Takahashi et al 2009). Recent models indicate that the uptake of anthropogenic CO₂ emissions by the ocean has increased from 1.5 ± 0.4 Pg C yr⁻¹ in the decade of the 1960s to 2.3 ± 0.4 Pg C yr⁻¹ in 2008 (Le Quere et al 2009). Superimposed on this multi-decadal trend are significant regional and temporal variations in uptake due to changes in wind, temperature, evaporation/precipitation, ocean circulation, and biological production, which are often related to climate modes such as the ENSO and NAO (Bates 2007, Feely et al 2006).

3.7.1.1 Long-Term Trends and Variability in the Ocean Uptake of Carbon from Observations

The air-sea flux of CO₂ is computed from the observed CO₂ partial pressure difference across the air-sea interface (Δ_{air}CO₂) and the concentration of CO₂ in the air, ocean, and gas exchange rates. The flux is subject to significant uncertainties due to the limited geographic and temporal coverage of the Δ_{air}CO₂ measurement as well as uncertainties in wind forcing and transfer velocity parameterizations. The terms in the flux formulation are frequently related to climate modes such as ENSO; in the Eastern and Central Equatorial Pacific, increases in Δ_{air}CO₂ between El Niño and La Niña can reach over 100 μatm (Feely et al 2006). However, fluxes are often impacted by shorter-term forcing variability. Therefore, most regional estimates of decadal trends in fluxes are uncertain. Some quantitative information on regional trends of surface ocean Δ_{air}CO₂ and uptake are available for selected locations.

Globally, the Δ_{air}CO₂ remains unchanged, i.e., on average, surface ocean waters have kept pace with

観測した栄養塩から議論された変動に関する記述は無し。

世紀中に、地上気温の上昇に応答して海洋の溶存酸素量が数パーセント減少する可能性は非常に高い。CMIP5 モデルによると、この溶存酸素の減少は主に中緯度の海洋表層で起こり、その原因是成層の強化、ベンチレーションの弱化、温度の上昇であることが示唆されている。もっとも、外洋における低酸素及び亜酸素証注 U 水域の量が将来どう増大するのかについては、潜在的な生物地球化学的影響と熱帯海洋力学の変化における不確実性が大きいため、合意は得られていない。

しかし、気候-生物地球化学結合モデルには多くの過程(例えば、リン、ケイ素、鉄などの他の生物起源要素が関わる他の過程)がまだ表現されていないため、それらの大きさはオフライン又はより簡素なモデルで推定しなければならず、定量的評価を難しくしている。こうした多くの過程の間には非線形の相互作用が存在する可能性が高いが、まだ十分に定量化されていない。したがって、気候と生物地球化学的循環の間の将来のフィードバックに対する評価は、まだ大きな不確実性を含んでいる。

25

2021 IPCC AR6

Final Government Distribution Chapter 5 IPCC AR6 WGI
Chapter 5: Global Carbon and other Biogeochemical Cycles and Feedbacks

Coordinating Lead Authors: Josep G. Canadell (Australia), Pedro M.S. Monteiro (South Africa)

Contributing Authors:

Marcos H. Costa (Brazil), Leticia Cotrim da Cunha (Brazil), Peter M. Cox (United Kingdom), Alexey V. Eliseev (Russia Federation), Stephen Henson (United Kingdom), Masao Ishii (Japan), Samuel Jaccard (Switzerland), Charles Koven (United States of America), Annalee Lorius (France), Prabir K. Patra (Japan/India), Shilong Piao (China), Joeri, Rogelj (United Kingdom/Belgium), Stephen Syampungani (Zambia), Sonke Zehle (Germany), Kirsten Zickfeld (Canada/Germany)

Georgii A. Alexandrov (Russian Federation), Govindasamy Balaji (India/United States of America), Laurent Bopp (France), Lena Boyesen (Germany), Long Cao (China), Navcen Chandra (Japan/India), Philippe Ciais (France), Sergey N. Denisov (Russia Federation), Frans J. Dentener (EU/The Netherlands), Hervé Douville (France), Amanda Fuy (United States of America), Pieter Forster (United Kingdom), Baylor Fox-Kemper (United States of America), Pierre Friedlingstein (United Kingdom), Weiwei Fu (United States of America/China), Sabine Fuss (Germany), Véronique Gaillard (France), Bettina Gier (Germany), Nathan P. Gillett (Canada), Luke Gregor (Switzerland/South Africa), Karsten Haustein (United Kingdom/Germany), Vanessa Haverd (Australia), Jian He (United States of America/China), Heleno T. Hewitt (United Kingdom), Forrest M. Hoffman (United States of America), Tatiana Ilyina (Germany), Robert Jackson (United States of America), Christopher Jones (United Kingdom), David P. Keller (Germany/United States)

ON THIS

観測した栄養塩から議論された変動に関する記述は無し。

Ocean warming reduces the vertical supply of nutrients to the upper ocean due to increasing stratification 24 (Section 9.2.1.4) but may also act to alleviate seasonal light limitation. @P82

26

この間の進歩：栄養塩標準が作成でき、国内外での使用が広がった。

日本における努力の結果、栄養塩標準の作成が可能となった(Aoyama et al., 2006, 2008, 2010; Ota et al., 2010).

この栄養塩標準を使って、国際的に比較可能性を確保することに世界の主要な研究者が合意した。さらに2009年2月のworkshopでIOC総会にこのための研究グループを組織する合意が成立し、2009年IOCに受理された。2009年から2012年までIOC-ICES Study Group on Nutrients Standards(SGONS)として活動。その後SCORのWG#147として2015年から2019年まで活動。

2017年からSCOR-JAMSTECのロゴを付けてJAMSTECから販売。(これは2022年3月で終了)

この間2003, 2006, 2008, 2012に気象研主催の栄養塩標準国際共同実験、2014/15と2017/18にIOCCP-JAMSTEC共同主催で栄養塩標準国際共同実験を計6回実施。2020年にも実施予定だったがコロナ禍で延期されたままになっている。

27

認証をどのようにするか？

- 2003年共同実験では認証しなかった。
- 共同実験方式での認証でなく、SIトレーサブルを目指すことを意識。
- NMIJ(日置さん)に複数回通い(2006年頃から)、栄養塩標準を認証することの必要性を説明、認証してくださいとお願いした。
- 2007年、BERM11の会場でYESの回答をもらった(記憶あり)。
- 2012年にNMIJが認証した3濃度レベルの海水ベースの栄養塩認証標準物質が出来た。
- 並行して、KASNOとJAMSTECは共同でKANSO作成CRMの認証を開始。

28

Year	Lot name	Nitrate	Phosphate	Silicate	Reference
		%	%	%	
1995	ICES I/C5	0.31	0.3	N.A.	Aminot & Kirkwood ²
2001	K	0.3	1.0	0.2	Aoyama <i>et al.</i> , 2010 ³¹
2003	AH	0.44	0.8	0.15	Aoyama <i>et al.</i> , 2010 ³¹
2007	BF	0.11	0.21	0.10	Aoyama <i>et al.</i> , 2010 ³¹
2007	BG	0.14	0.17	0.08	Aoyama <i>et al.</i> , 2010 ³¹

Current Status of Homogeneity and Stability of the Reference Materials for Nutrients in Seawater

Michio Aoyama,^{*1} Hidekazu Ota,^{*2} Munehito Kimura,^{*2} Takashi Kitao,^{*2} Hitoshi Mitsuda,^{*2} Akihiko Murata,^{*3} and Kenichiro Sato^{*4}

^{*1} Meteorological Research Institute, 1-1 Nagamine, Tsukuba, Ibaraki 305-0052, Japan
^{*2} KANTO CO., LTD., 1-3-1 Azuchimachi, Chuo, Osaka 541-0052, Japan
^{*3} Japan Agency for Marine-Earth Science and Technology (JAMSTEC), 2-15 Natsumita, Yokosuka 237-0061, Japan
^{*4} Marine Works Japan Ltd., 2-16-32 SF Kamariyashiki, Kanazawa 236-0042, Japan

The development of Reference Materials for Nutrients in Seawater (RMNS) has been in progress since 1993. When RMNS were produced for nitrate, silicate, and phosphate, their initial homogeneities were as low as 0.1 to 0.2% in samples of high-nutrient seawater, such as deep Ocean. The relative standard uncertainties associated with the certified values of RMNS ranged from 1.0 to 6.4% based on the ISO Guide 35:2006 criteria; however, the relative standard uncertainties associated with instability during long-term storage were larger than the initial homogeneities of RMNS. RMNS produced by state-of-the-art techniques are currently available for global use to improve the comparability of nutrients in the open ocean and, as discussed here, are reliable candidates to be used for certified reference materials.

(Received December 2, 2011; Accepted July 17, 2012; Published September 10, 2012)

Introduction

Reference Materials for Nutrients in Seawater (RMNS) are produced from natural seawater, and since 2003 have been available as standards to ensure the comparability and traceability of nutrient data resulting from the open ocean. About 100 sets of RMNS have been well received since the 1990s.^{1,2} This imposes an increased demand for their relevance to studies of climate research and biogeochemical cycling in the ocean.

The high reproducibility and precision of nutrient measurements required by the World Ocean Circulation Experiment (WOCE) Hydrographic Program (WHP) one-time survey has underscored the fact that prior to the 1990s no standards were available to facilitate the measurement of nutrient concentrations in seawater. The WOCE nutrient data were classified in terms of coefficient of variation (CV) and standard deviations expressed as percentages of means. The required CVs were 1, 1–2, and 1–3% for nitrate, phosphate, and silicate, respectively. Although nutrient data from the WOCE one-time survey were of unprecedented quality and

nitrate was at 0.5 µmol kg⁻¹ at 345 crossover points, and the maximum discrepancy was 1.7 µmol kg⁻¹. At 31 crossover points along the Pacific Ocean one-dimensional CV was 1.5% for all three nutrient elements. The required CVs of 1.5–3% were fulfilled at only about half of the crossover points. Among these crossover points the maximum observed difference in nitrate concentrations was as high as 75% of the mean value, even in deep water where the potential temperature was lower than 10°C.

The International Council for the Exploration of the Sea (ICES) conducted an intercomparison exercise for nutrients in seawater (NUTS I/C) in 1989/1990 (NUTS I/C4) and 1992/1993 (NUTS I/C 5). Autoclaving, which has been studied for the production of RMNS, was adopted as a method to produce the intercomparison exercise conducted in 1992/1993.³ Aminot and Kerouel⁴ concluded that nitrate and nitrite in autoclaved seawater were extremely stable throughout the 27-month storage experiments. The CVs were 0.3, 0.3, and 0.8% for ranges of 5–50 µmol L⁻¹ and 0.5–5 µmol L⁻¹ for nitrate, phosphate, and silicate, respectively. Leaching from the glass container caused a slight increase of 0.02–0.07 µmol L⁻¹ per year. The main cause of nutrient variation in seawater samples was believed to be microbial activity; hence, the production of RMNS depended on

Lot name	Conc.	Time	ISO Guide 35 Stability*	Initial homogeneity**	Relative standard uncertainty due to long-term stability		
					μmol kg ⁻¹	year	%
Nitrate							
AH	35.54	6.4	yes	0.44	0.7		
AV	33.88	4.8	no	N.A.	0.2		
AX	21.45	4.8	yes	N.A.	0.2		
BF	41.41	1.9	yes	0.11	0.20		
Phosphate							
AH	2.13	6.4	yes	0.8	1.0		
AV	2.52	4.8	yes	N.A.	0.3		
AX	1.62	4.8	yes	N.A.	0.4		
BF	2.81	1.9	yes	0.21	0.38		
Silicate							
AH	132.6	6.4	yes	0.15	0.6		
AV	154.4	4.8	yes	N.A.	0.1		
AX	58.21	4.8	yes	N.A.	0.2		
BF	150.58	1.9	yes	0.08	0.19		

*: “yes” means that calculated slopes for nitrate, phosphate, and silicate concentrations did not differ significantly from zero at 95% level of confidence by the Student’s *t*-test for *n*–2 degree freedom.

Comparability of oceanic nutrient data: Methods of certified reference material (CRM) production and certification for reference materials for nutrients in seawater (RMNS).

Jakashi Kitao¹, Akifumi Shimamoto¹, Hitoshi Mitsuda¹, Toshiaki Fujii¹, Michio Aoyama^{2,3}, Akihiko Murata³

¹ KANTO CO., LTD., Osaka, Japan, ² Japan Agency for Marine-Earth Science and Technology, Yokosuka, Japan, ³ Institute of Environmental Radiactivity, Fukushima University, Fukushima, Japan

Abstract

KANTO CO., LTD. (Japan) started the production of reference materials for nutrients in seawater (RMNS) in 2003. RMNS were used in the 2005, 2006, 2008, and 2012 global inter-laboratory comparison studies conducted by Meteorological Research Institute (MRI) and Japan Agency for Marine-Earth Science and Technology (JAMSTEC) (CLIVAR). In 2015, the GO-SHIP nutrient measurement manual published in 2010 suggested KANTO's RMNS as one of the candidates to be used as common reference materials for all laboratories to improve the comparability of nutrient data. After the seawater has been autoclaved, 50-mL aliquots are transferred into UV-sterilized polycarbonate bottles in a clean room. The bottles are hermetically sealed in aluminum-film bag which has excellent barrier properties to prevent leaching of nutrients. The RMNS are produced in a clean room under strict quality control conditions. The RMNS are mixed selected natural seawater at different nutrient concentrations at various mixing ratios (RMNS). A 220-L stainless-steel reaction chamber is used to simulate natural seawater which provides 2200 bottles (ca. 30 mL) mixed selected natural seawater at different nutrient concentrations at various mixing ratios (RMNS). The stability of 4 determinants (nitrate, nitrite, phosphate and silicate) is guaranteed up to 7 years^{1,2}. In 2013, JAMSTEC met the requirements of ISO Guide 34:2009 (ISO/IEC 17025:2005) for tests and measurements associated with assigning property values to certified reference materials. From 2011, the assigned property values for RMNS were measured by JAMSTEC and KANTO. The results showed that two values agreed within measured expanded uncertainty (1–2) for 9 lot produced. With more reliability in the measured values, the global use of KANTO CRM is expected to improve comparability of nutrient data.

RMNS production procedure^{1,2}

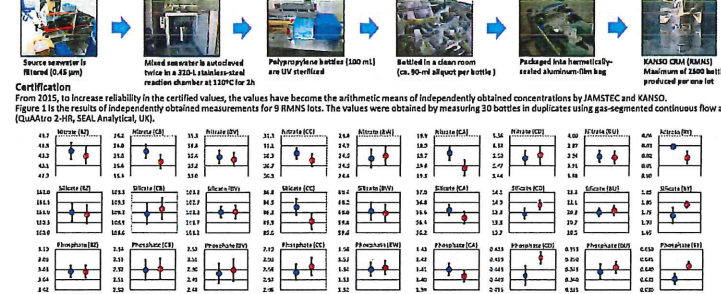


Figure 1 Independently obtained nitrate, silicate, and phosphate concentrations by JAMSTEC and KANTO

Validity of certification
When conducting measurement for certification, KANTO CRMs and NMII CRMs were also measured. Table 1 shows the values are in good agreement and are within measured expanded uncertainty (1–2) of each determined values.

Table 1 KANTO CRMs and NMII CRMs measured results

Uncertainty calculation
Uncertainties of certified values were calculated using equation 1. Each uncertainty components is described in Table 2. As an example, calculated result for Lot CD nitrate is shown. Major uncertainty components will differ based on the type of determinants and concentration measured for certification.

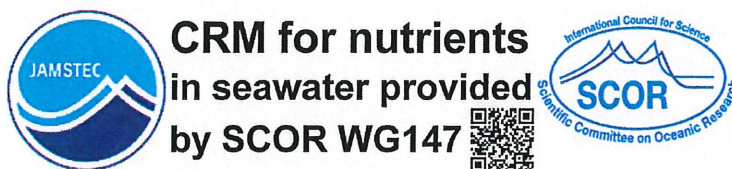
Equation 1 Calculation formula for uncertainty determination

IOCCP encourages the use of Certified Reference Material for nutrients: April 2017
Toste Tanhua, Michio Aoyama, Rik Wanninkhof,
Maciej Telszewski & Artur Palacz

The slide has a blue header bar with the title 'THE IOCCP CONVEYOR'. The main content area contains several paragraphs of text and some small images. The text discusses the importance of observation-based quantitative assessments of changes in ocean biogeochemistry, mentioning the rate of ocean acidification, oxygen levels, and anthropogenic carbon storage. It also notes the inconsistency between different groups of analysts due to lack of certified reference materials (CRMs). The text further explains that knowledge of ocean productivity and remineralization processes is essential for correctly interpreting observations of other changes. It highlights the role of CRMs in providing standard solutions with stated uncertainties for silicon, silicon standard solution produced by Merck KGaA, and silicon standard solution (SRM3150) of National Institute of Standards and Technology (NIST), each having stated uncertainties, are used.

31

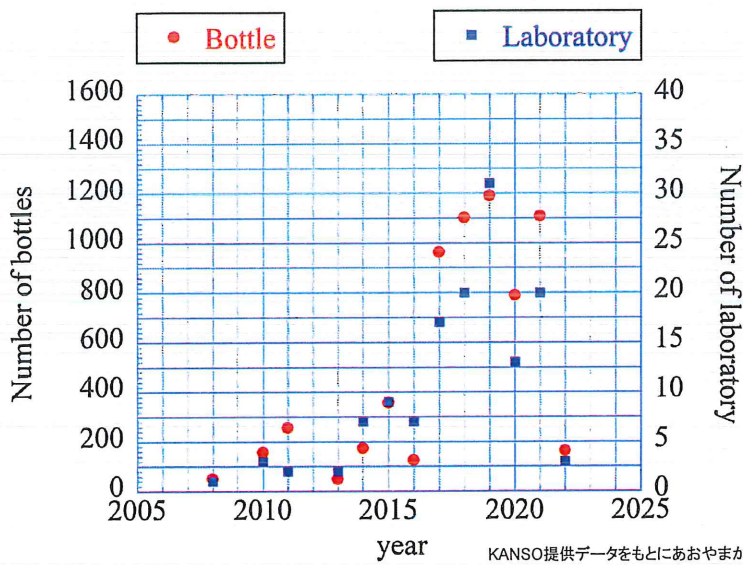
Label of SCOR-JAMSTEC CRM 2017年にJAMSTECから販売開始



This CRM is produced by KANSO on a commission basis and distributed by JAMSTEC based on a framework of SCOR WG147, COMPOONUT.
Business contact: CRM_Nutrients@jamstec.go.jp
Scientific issues: Michio Aoyama, r706@ipc.fukushima-u.ac.jp
and Malcolm Woodward, m.woodward@pml.ac.uk

32

国外への販売ボトル数とラボの数の推移



33

2000年から2019年までの主要な出来事

2000	MRI IC 2012 (AX,AZ,BD,BP,BQ) NMIIJ CRMs available
2001	1996-2001 long term storage experiment (lot ole yellow)
2002	First announcement "RM of nutrinets could be produced" at OSM2002 re-visit cruise P06, A10, I03/I04
2003	MRI IC 2003(T,Q,R,AH,AB,O) Feasibility test of RM at 5 research vessels of JMA
2005	re-visit cruise P10, P03
2006	MRI IC 2006 (AX x 2, AV, AY, AZ, BA) re-visit cruise P01, P14
2007	Workshop on Chemical Reference Materials in Ocean Science @TSUKUBA and a session at BERM11
2008	MRI IC 2008(AX, BA, AY, BD x 2, BF) re-visit cruise P21 re-visit cruise P06 by SIO
2009	INSS International Workshop @UNESCO Propose IOC/ICES Study Group on Nutrient Standards (SGONS) at IOC 25th assembly and approved The stability test of RMNS between 2009 and 2011 by several key laboratories
2010	Paris meeting of the joint IOC/ICES Study Group on Nutrient Standards (SGONS) @UNESCO Aoyama's presentation at IOC general assembly Comparability of Nutrients in the world's ocean published, The GO-SHIP Repeat Hydrography Manual published
2011	re-visit cruise P10 共同認証開始
2012	re-visit cruise A22/A20 by SIO (Mr. Sato and Mr. Arii), re-visit cruise S04I, P14S SGONS Meeting @SIO INSS phosphate workshop @NIOZ
2013	20th anniversary symposium IOCCP-JAMSTEC IC 2014/2015 (BU,BV,BY,CA, NMIIJ7601a,7602a,7603a, Korean RM: not anonymous) re-visit cruise P01,P10N
2015	re-visit cruise II0 SCOR WG#147 COMPNUT 1st meeting at Vienna SCOR-JAMSTEC CRM start to provide
2016	SCOR WG#147 COMPNUT 2nd meeting at Qingdao and a session at CLIVAR opens science conference re-visit cruise P17E
2017	Training workshop @NIOZ SCOR WG#147 COMPNUT 3rd meeting at Portland and a session at OSM2018
2018	SCOR-JAMSTEC CRMs 5 lots completed for PO nad AO IOCCP-JAMSTEC IC 2017/2018 (CA, CD, CE, CF, CG) Today we have 25th anniversary symposium Revised GO-SHIP nutrients manual for public comments
2019	SCOR WG#147 COMPNUT 4th meeting at ?? Revised GO-SHIP nutrients manual will be published

34

ここから現実の海洋での変動の話

Marine biogeochemical response to a rapid warming in the main stream of the Kuroshio in the western North Pacific

MICHIO AOYAMA,^{1,*} HIRORI GOTO,²
HITOMI KAMYA,³ IKUO KANEKO,³
SATOSHI KAWAE,⁴ HIROKI KODAMA,⁵
YASUSHI KONISHI,⁶ KENN-ICHI
KUSUMOTO,⁷ HISATO MURA,⁷ EIICHI
MORIYAMA,⁸ KIYONHI MURAKAMI,⁹
TOSHIYA NAKANO,¹⁰ FUTOSHI NOZAKI,¹¹
DAISUKE SASANO,¹¹ TAKAO SHIMIZU,¹²
HIROKI SUZUKI,¹¹ YASUHI TAKATSUKI,¹³
AND AKITO TORYIMA¹⁴

¹ Meteorological Research Institute, 1-1 Nagamine, Tsukuba,
Ibaraki 305-0052, Japan

² Japan Meteorological Observatory, 4-1 Higashihiguchi,
Kasumigaura, Kasumigaura 370-0028, Japan

³ Marine Division, Climate and Marine Department, Japan

Meteorological Agency, 1-3-4 Otemachi, Chiyoda-ku, Tokyo

100-8122, Japan

⁴ Nagoya Marine Observatory, Japan Meteorological Agency,

1-15 Minami-kyo-cho, Nakagawa 850-0011, Japan

⁵ Marine Marine Observatory, 301 Shimokubo, Matsuri

Harbor Office Building, Matsumoto, Kyoto 624-0946, Japan

⁶ Seisaku Daini Meteorological Observatory, 18-2 Kita 2-chome

Nishi, Chuo-ku, Sapporo, Hokkaido 060-0002, Japan

⁷ Hidaka Marine Observatory, 3-4-4 Minam, Hakodate,

Hokkaido 041-0036, Japan

ABSTRACT

The global average surface temperature (the average of near-surface air temperature over land and sea surface temperature) has increased since 1861 and the increase has been $0.74 \pm 0.18^\circ\text{C}$ during the 20th century, from 1906 to 2005 (Trenberth et al., 2007). The recent increase over the period from 1981 to 2005 has been $1.7 \pm 0.52^\circ\text{C}$, indicating rapid warming over two decades. In which the increase has occurred over land rather than in the ocean (Trenberth et al., 2007). The global warming of the world ocean is about 0.02°C per $40 \times 10^6 \text{ km}^2$ per year, for 0.100 m as a global average (Levitus et al., 2000, 2005). Biogeochemical parameters, as well as temperature and other physical parameters, are one of the global concerns. Nutrient concentrations, the water column chlorophyll *a* (hereafter chl *a*) and the net community production in the surface mixed layers showed the linear decreasing trends in the Kuroshio area, subtropical area and tropical area along 137°E during these three decades (Watatobe et al., 2005). Biodiversity and plankton community dynamics are generally considered to be 'static'; however, the average concentrations of chl *a* and the estimated

0.128 $\pm 0.026^\circ\text{C}$ per decade during the period from 1956 to 2005 reported in IPCC 2007. One of the features in this rapid warming region is an increase of number of *Pezizaeta draco*, a cosmopolitan warm-water zooplankton. Biogeochemical parameters, such as wet weight of zooplankton, plant pigment and nutrients concentration in the upper 200 m have been decreasing while dissolved oxygen content and sea-water temperature have been increasing in the upper 200 m in the main stream of the Kuroshio in the East China Sea. These observed linear trends of the biogeochemical parameters would be forecasts for ten-perature oceans in the future.

Key words: biogeochemical change, climate change, global warming, Kuroshio, North Pacific

INTRODUCTION

The global average surface temperature (the average of near-surface air temperature over land and sea surface temperature) has increased since 1861 and the increase has been $0.74 \pm 0.18^\circ\text{C}$ during the 20th century, from 1906 to 2005 (Trenberth et al., 2007). The recent increase over the period from 1981 to 2005 has been $1.7 \pm 0.52^\circ\text{C}$, indicating rapid warming over two decades. In which the increase has occurred over land rather than in the ocean (Trenberth et al., 2007). The global warming of the world ocean is about 0.02°C per $40 \times 10^6 \text{ km}^2$ per year, for 0.100 m as a global average (Levitus et al., 2000, 2005). Biogeochemical parameters, as well as temperature and other physical parameters, are one of the global concerns. Nutrient concentrations, the water column chlorophyll *a* (hereafter chl *a*) and the net community production in the surface mixed layers showed the linear decreasing trends in the Kuroshio area, subtropical area and tropical area along 137°E during these three decades (Watatobe et al., 2005). Biodiversity and plankton community dynamics are generally considered to be 'static'; however, the average concentrations of chl *a* and the estimated

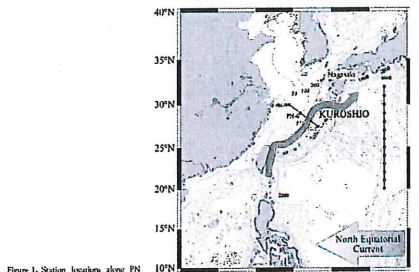
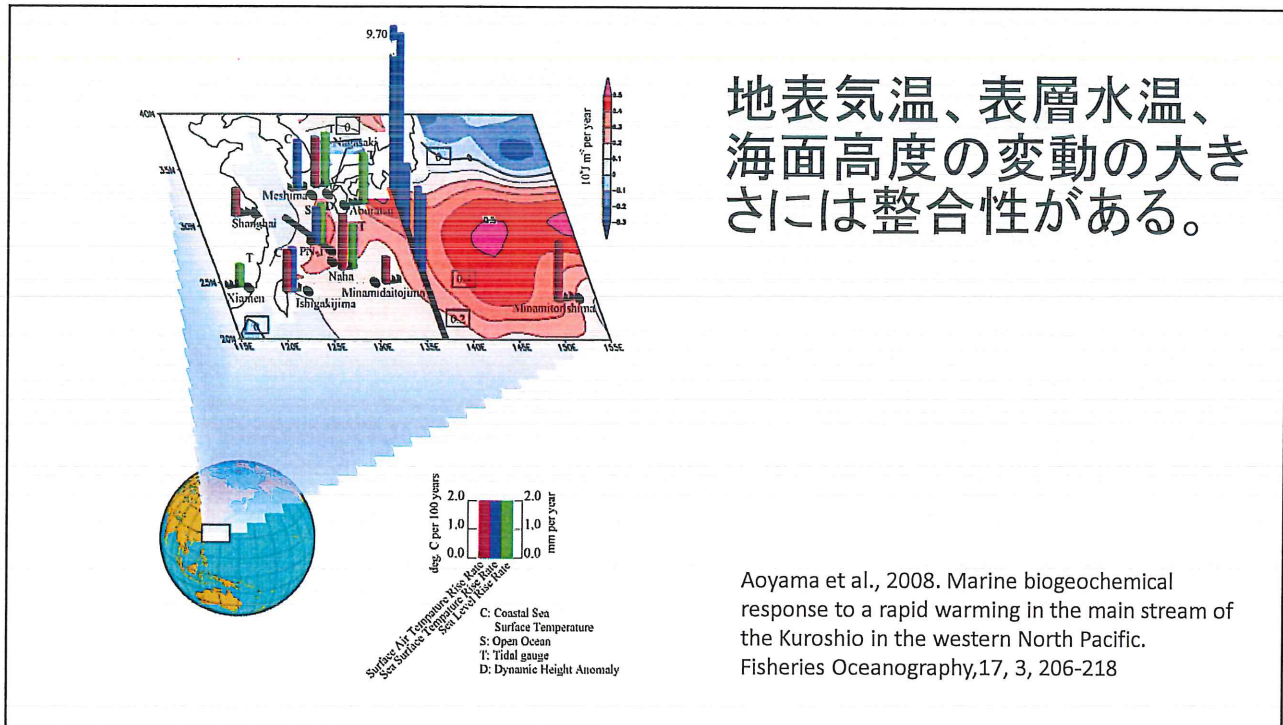


Figure 1. Station locations along the main stream of the Kuroshio.

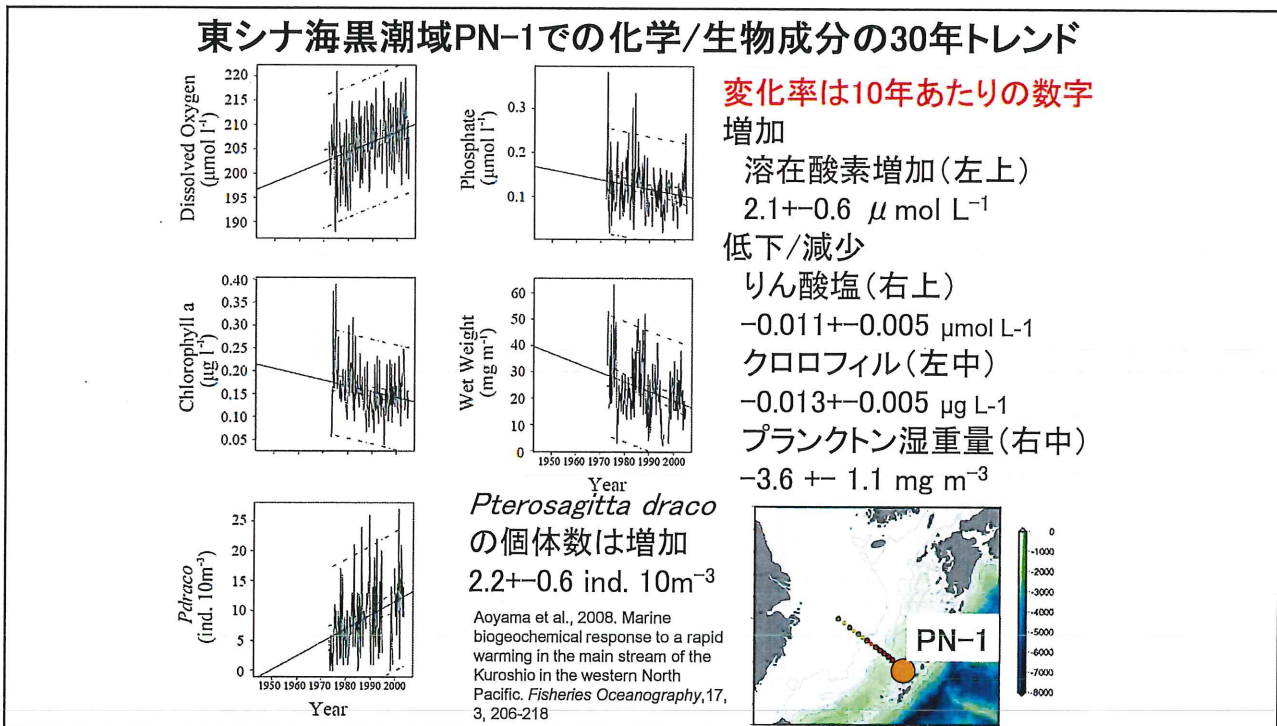
Table 1. Methods, periods, accuracies/precisions and references for the data used in this study.

Methods and/or instruments	Periods, accuracies/precisions	References
Sea water temperature	Reversible thermometer 1972–Feb. 1987: 0.3°C accuracy Mar. 1987–Mar. 1997: 0.01°C accuracy and 0.02°C precision	Japan Meteorological Agency, 2001, 2005
Niel Brooks MARKIII CTD	SBE 911 plus CTD Apr. 1997–2004: 0.001°C accuracy and 0.002°C precision	
Water samples	Net bottle Niskin bottle equipped with flow-through sampler	Japan Meteorological Agency, 2001, 2005
Salinity	Amts-Lab salinometer 1965–Feb. 1987: 0.001 precision and 0.001 resolution Mar. 1987–2004: 0.002 accuracy and 0.001 precision	Takemoto et al., 1991; Armano et al., 2002
Dissolved oxygen	Tension 1965–Apr. 1999: 0.5% precision ^a June 1999–2004: 0.2% precision ^a	Carpenter, 1985
Nutrients (phosphate and nitrate)	Ditch analysis ^b 1972–1986: 1% precision ^b	Murphy & Riley, 1951; Armenteg et al., 1967
Chla by AAI and so on	CFA by AAI and so on Apr. 1989–2004: $0.2\text{--}0.4\%$ precision ^c	

© 2008 The Authors
Journal compilation © 2008 Blackwell Publishing Ltd, Fish. Oceanogr., 17(3), 206–218.



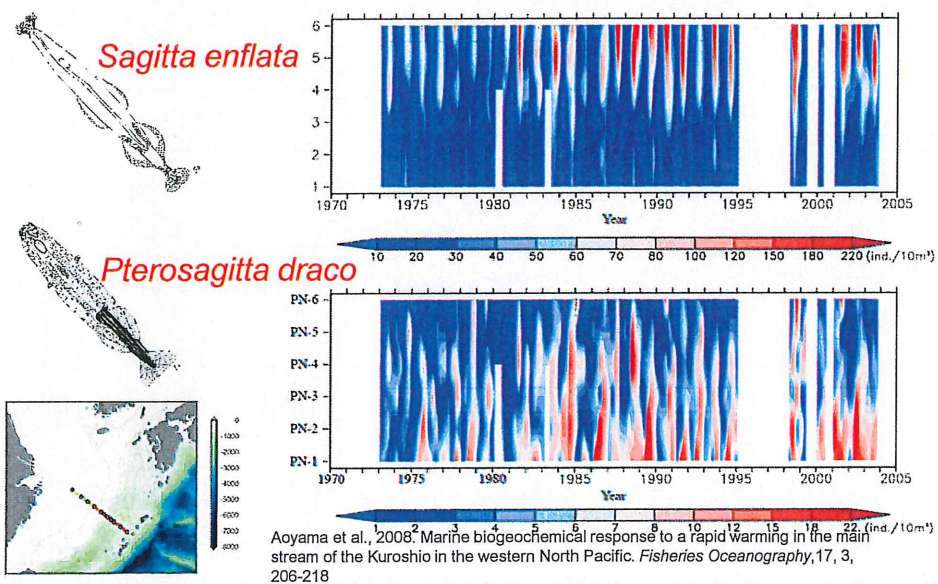
37



38

PN-1から6での動物プランクトン個体数の変動(種別)

好暖水性の動物プランクトンである、
Pterosagitta draco, *Sagitta enflata*の個体数増加が綺麗に見えた。



Aoyama et al., 2008² Marine biogeochemical response to a rapid warming in the main stream of the Kuroshio in the western North Pacific. *Fisheries Oceanography*, 17, 3, 206-218

北太平洋深層での栄養塩や溶存酸素量の 長期変動解析の目的

- P1の1985年以降2021年まで5回の観測があるのをつかい、栄養塩濃度がどのような挙動をしているかを比較可能性を確保(確認)したうえで、検討する。気象庁東経165度線北緯47度付近のデータも使う。
- 他の物理量や塩分との比較(生物地球化学が効かない項目との比較)
- まずは海底上1000 mまでのlayer
- その後中深層、表層へ拡張
- 気象庁東経165度線北緯47度のデータも使う。ただし、公表されている数値は自家製標準準拠なので、標準物質準拠の値を作つてもらつた。(気象庁 笹野博士提供)

今回紹介する研究対象の場所

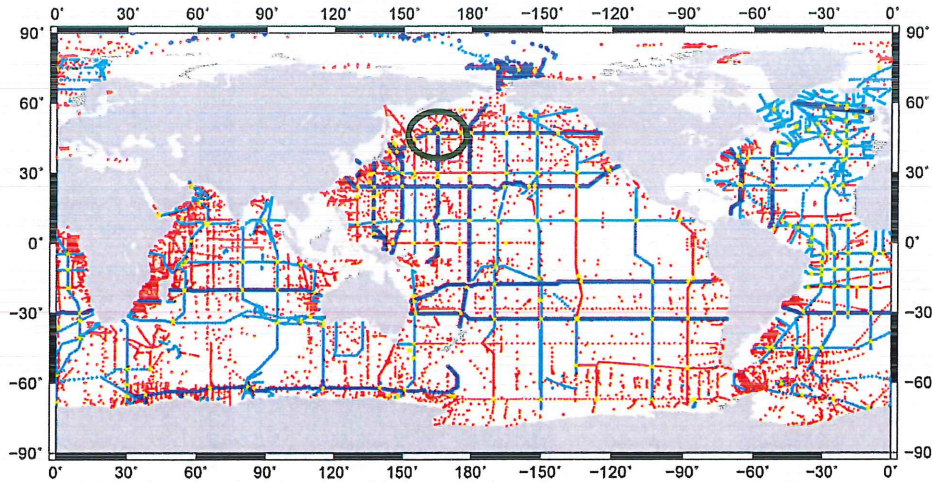


Fig.1 Nitrate date distribution blue: priority 1(with RM/CRM, 2003-2013) , right blue: priority 2, red: priority 3-7, Yellow star: crossing points
Blueで示している航海のほとんどはJAMSTECが実施、あるいは人とRMを送り込んでいる。例外はNIOZの航海

41

使用する栄養塩データ P1

Year	Line code	PI of nutrients	instrument	RM/CRM	precision %		
					silicate	nitrate	phosphate
1985	P1	Lynne Talley (SIO)		none	<0.5	<0.5	<0.5
1999	P1W	Chizuru Saitoh (JAMSTEC)		none	NA	NA	NA
1999	P1C	Chizuru Saitoh (JAMSTEC)		none	NA	NA	NA
1999	P1E	IOS ship		none	NA	NA	NA
2007	P1	M. Aoyama (MRI)	TRAACS 800	RM	0.07	0.06	0.10
2014	P1	M. Aoyama (Fukushima Univ.)	QuAAstro 2-HR	CRM	0.07	0.09	0.08
2021	P1WC?	M. Aoyama (JAMSTEC/Univ. of Tsukuba)	QuAAstro39	CRM	0.12*	0.13*	0.12*

*: 送液系の不具合で繰り返し精度が確保できなかった

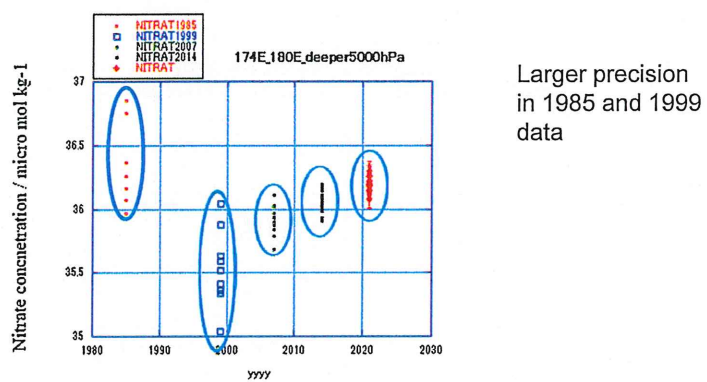
42

使用するデータ 気象庁 東経165度北緯47度

year	observation layer	remarks for Si	RM/CRM	station
2020	0-bottom		CRM	RF-6729 47-01 N 165-01 E 8-22-1213 8-22-1641 5882M
2019	0-bottom		CRM	RF-6486 47-00 N 165-01 E 5-24-0904 5-24-1353 5888M
2018	0-bottom		CRM	RF-6265 47-00 N 165-00 E 6-28-0645 6-28-1112 5863M
2017	0-bottom		CRM	RF-6049 47-00 N 164-59 E 7-4-2034 7-5-0107 5867M
2016	0-bottom		CRM	RF-5776 46-59 N 165-00 E 6-16-0351 6-16-0810 5872M
2015	0-bottom		CRM	RF-5461 47-00 N 165-00 E 6-14-0903 6-14-1339 5869M
2014	0-bottom		CRM	KS-4181 47-01 N 164-59 E 5-21-1955 5-22-0016 5872M
2013	0-bottom		CRM	KS-3874 45-02 N 165-01 E 6-7-1957 6-8-0026 5973M
2012	0-bottom		RM	
2011	0-bottom		RM	RF-4031 47-00 N 165-01 E 6-16-2201 6-17-0251 5900M
2010	0-2000	silicate too high RM?		KS-2728 47-00 N 165-02 E 8-20-1204 8-20-1407 5910M
2009	0-2000	no silicate		KS-2403 46-59 N 165-02 E 6-17-0509 6-17-0703 5887M
2008	0-2000	no silicate		KS-2149 47-00 N 165-00 E 6-23-1622 6-23-1757 5872M
2007	0-2000	no silicate		RF-2935 47-00 N 165-01 E 6-12-1828 6-12-2014 5886M
2006	0-2000	no silicate		RF-2687 48-00 N 165-01 E 6-15-1946 6-15-2126 5844M - - M -
2005	0-2000	no silicate		RF-2440 47-00 N 165-01 E 6-22-2134 6-22-2310 - M - M -
2004	0-2000	no silicate		RF-2182 48-00 N 165-00 E 6-15-0209 6-15-0347 5831M - - M -
2004	0-2000	no silicate		RF-2184 46-01 N 164-59 E 6-15-1510 6-15-1651 5784M 6 7 M 5
2003	0-2000	no silicate		RF-1926 48-00 N 165-00 E 6-27-2246 6-28-0036 5841M - - M -
2002	0-2000	no silicate		RF-1743 47-00 N 165-00 E 7-12-0341 7-12-0509 5865M 5 15 M -
2001	0-2000	no silicate		RF-1396 47-00 N 165-01 E 7-10-1110 7-10-1253 5874M 4 17 M -

43

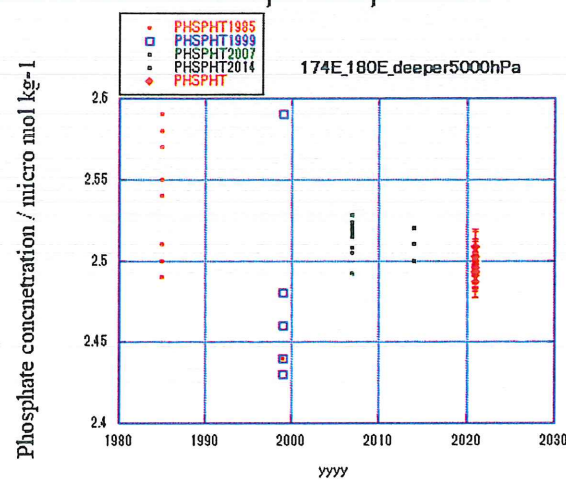
Raw data plot at 174-180 deg. E 1200 m
from the bottom for nitrate



Larger precision
in 1985 and 1999
data

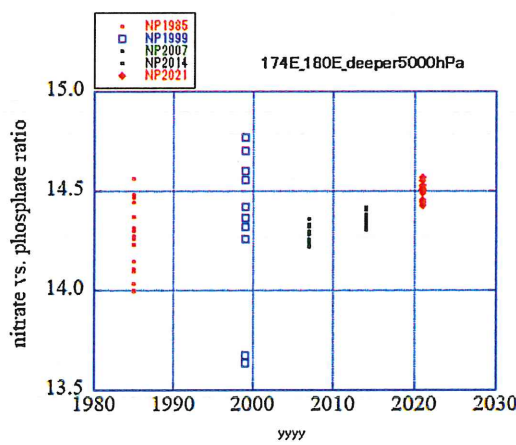
44

Raw data plot at 174-180 deg. E 1200 m
from the bottom for phosphate



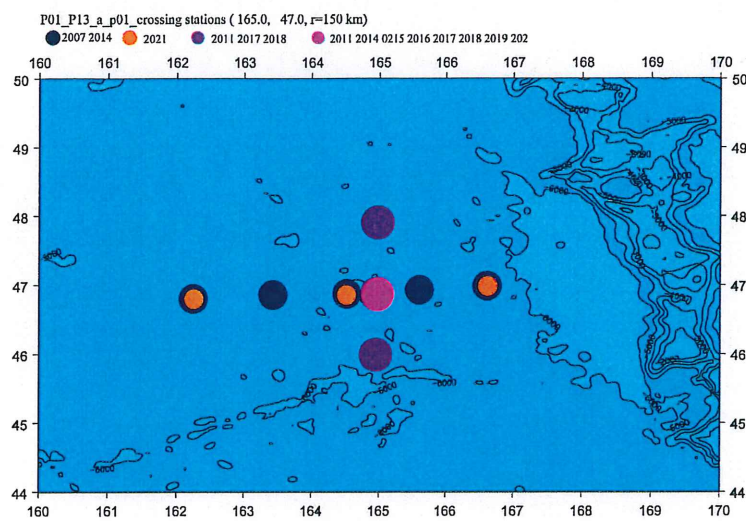
45

Raw data plot at 174-180 deg. E 1200 m
from the bottom for nitrate vs.
phosphate ratio



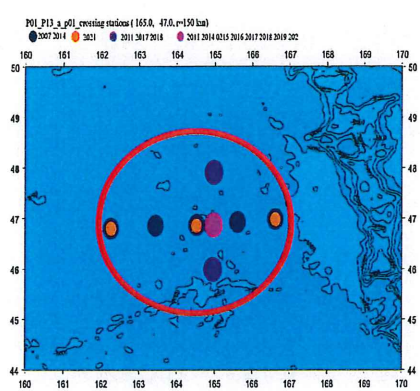
46

交点 47 deg. N 165 deg. E で解析 海底から1000mまでを使用 拡大図に海底地形



47

半径はおよそ150kmに設定 下記に図は縦横比を実際の地球上の比率に合わせた図



48

year	1985	1999	2007	2014	2021
<u>silicate</u>					
average	159.39	151.80	154.53	157.99	160.63
stdev	2.05	2.55	2.18	1.34	1.13
CV%	1.29	1.68	1.41	0.85	0.70
n	18	10	16	26	13
<u>nitrate</u>					
average	36.34	35.52	35.92	36.06	36.20
stdev	0.24	0.29	0.11	0.09	0.06
CV%	0.65	0.81	0.31	0.24	0.16
n	18	10	16	26	14
<u>phosphate</u>					
average	2.55	2.48	2.52	2.51	2.50
stdev	0.03	0.07	0.01	0.01	0.01
CV%	1.26	2.66	0.35	0.27	0.26
n	18	10	16	26	14
<u>N/P ratio</u>					
average	14.26	14.33	14.27	14.35	14.49
stdev	0.17	0.39	0.05	0.03	0.05
CV%	1.19	2.74	0.32	0.24	0.32
n	18	10	16	26	14

CV%には自然の変動を含むので分析の繰り返し精度よりは大きい。

過去のデータでは測点間のあるいは同一Run内での比較可能性が確保されていないことに起因する大きなCV%がある。

49

Estimated factor (multiply) for 2007 and 2014

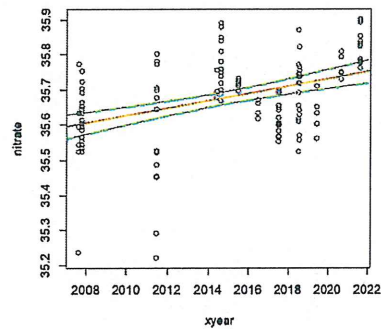
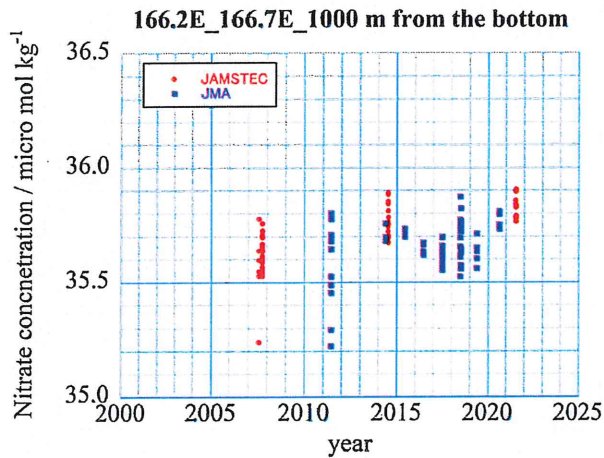
Cruise	Year	Silicate	Unc.	Nitrate	unc.	Phosphate	Unc.
MR21-04	2021	1.0000	0.0020	1.0000	0.0020	1.0000	0.0020
MR14-04	2014	1.0002	0.0037	0.9982	0.0048	1.0006	0.0047
MR07-04	2007	1.02796	0.0045	0.9951	0.0053	0.9945	0.0060

Excellent comparability between 2021 and 2014 results as shown below and we need to make small correction around 0.5-0.8% onto 2007 results

Cruise	Year	Silicate	Unc.	Nitrate	unc.	Phosphate	Unc.
MR21-04	2021	1.000	0.002	1.000	0.002	1.000	0.002
MR14-04	2014	1.000	0.004	0.998	0.005	1.001	0.005
MR07-04	2007	1.028	0.005	0.995	0.005	0.995	0.006

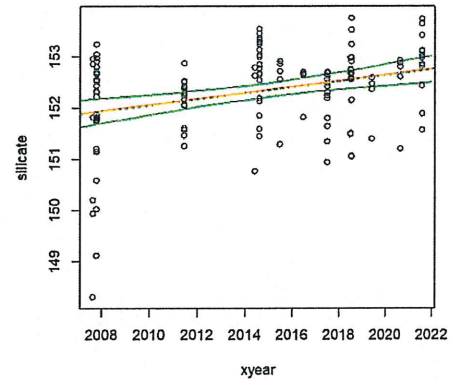
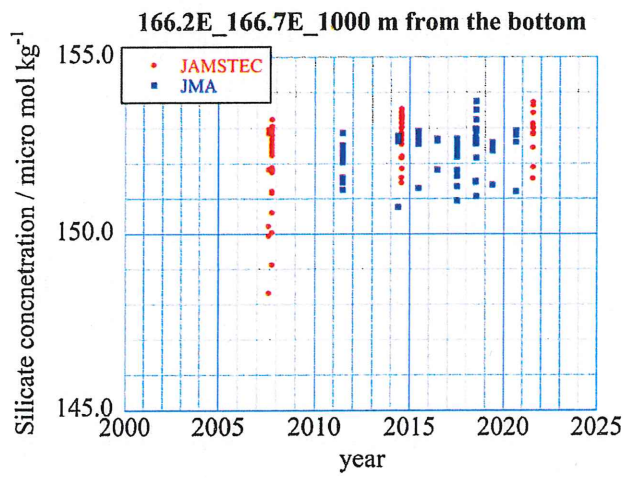
50

これはNitrate: 変動が直線的であるとする
と10年で $0.10+0.02$ micro mol kg $^{-1}$ の増加



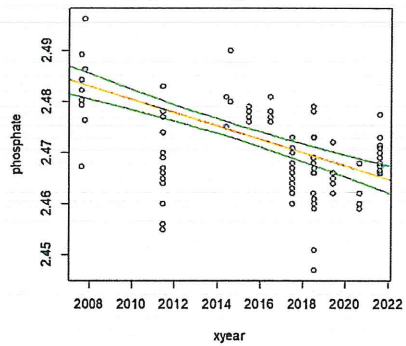
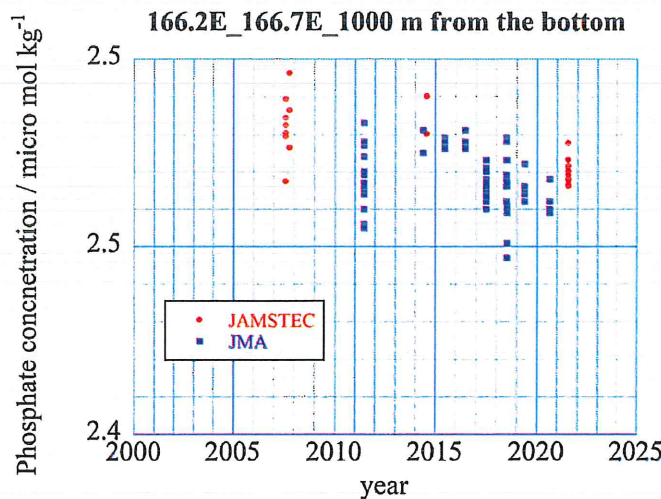
51

これはSilicate: 変動が直線的であるとする
と10年で $0.58+0.15$ micro mol kg $^{-1}$ の増加



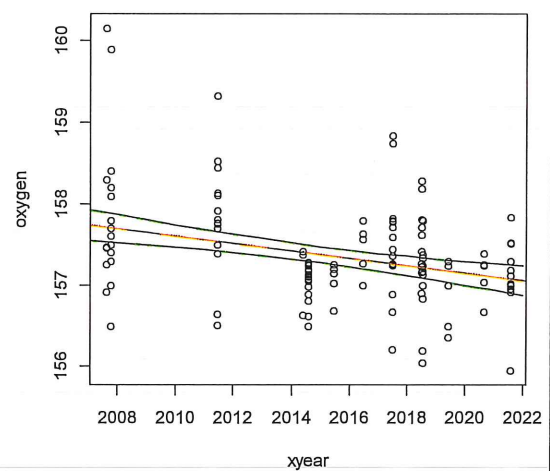
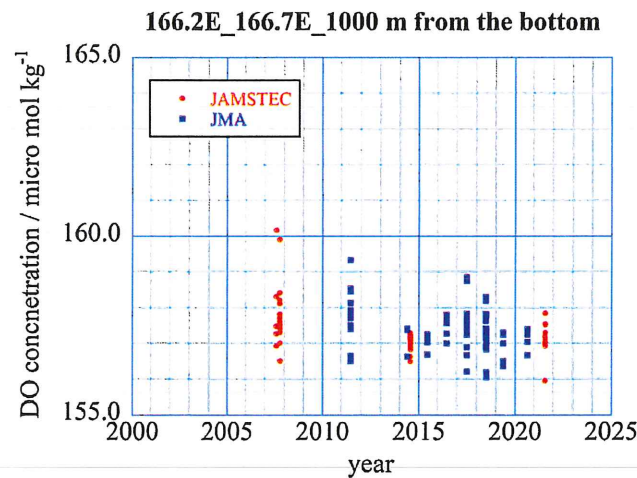
52

これはPhosphate: 変動が直線的であるとすると
10年で $0.013+/-0.002$ micro mol kg $^{-1}$ の減少

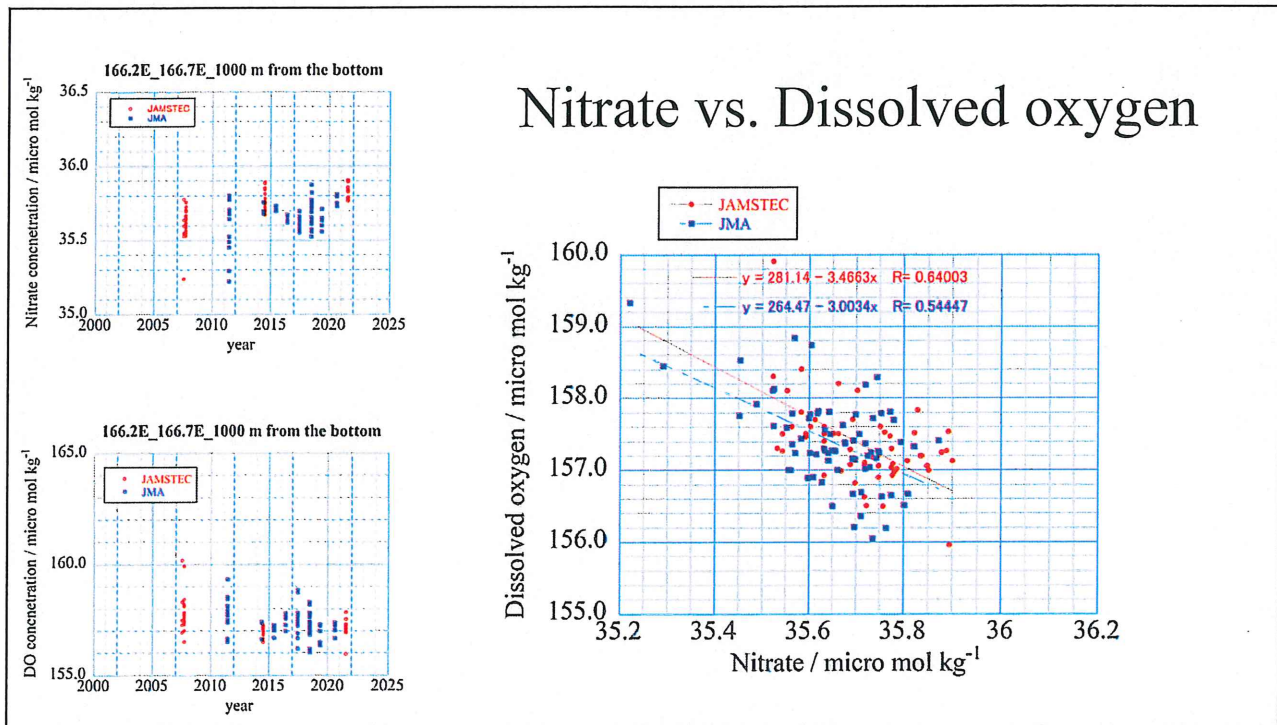


53

溶存酸素量の値はそのまま:JAMSTECと気象庁はKIO₃標準液を交換して比較可能性を確認している。変動が直線的であるとすると10年で $0.46+/-0.11$ micro mol kg $^{-1}$ の減少

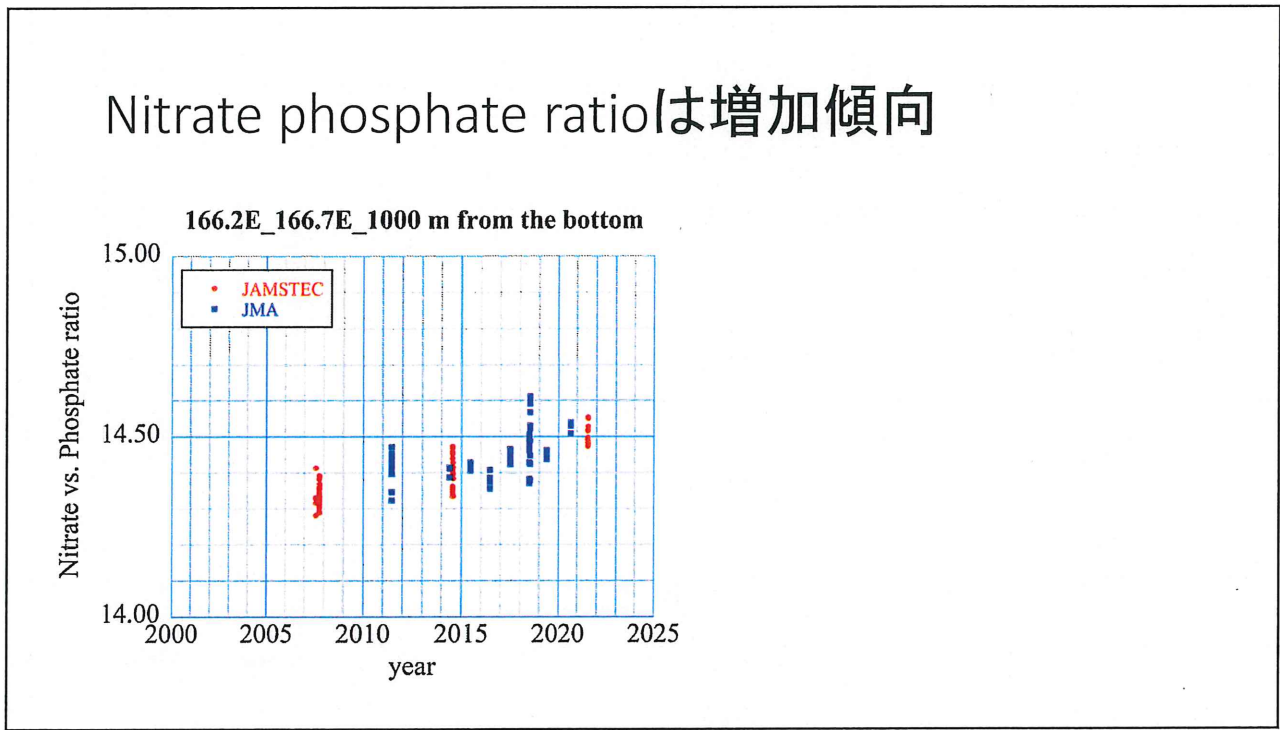


54



55

Nitrate phosphate ratioは増加傾向



56

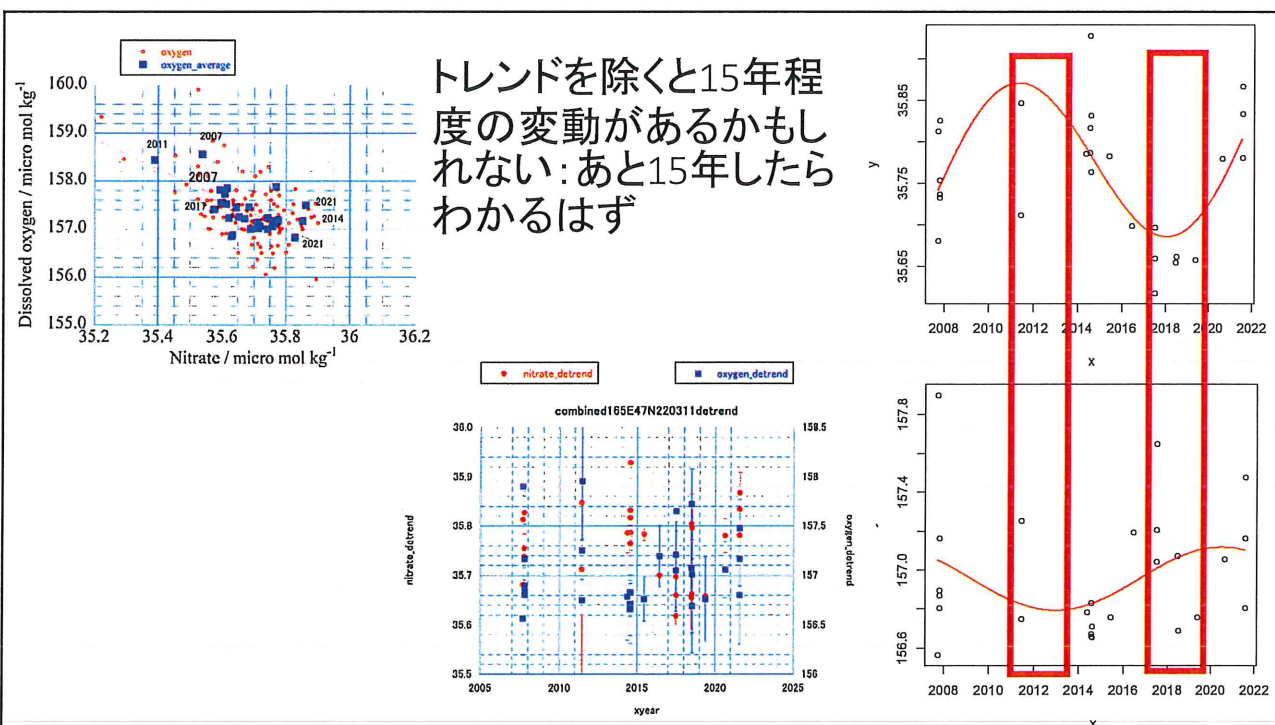
Trend をまとめると

parameter	average concentration		Trend		Unit	Ratio to trend of Nitrate	Redfield:N =1		Redfield
	2007	2021	slope	intercept					
silicate	2007	2021	152.87 ± 0.50	0.58 ± 0.15	micro mol kg ⁻¹ per 10 years	5.8 ± 1	1.9	4.3*	
nitrate	2007	2021	35.82 ± 0.05	0.10 ± 0.02	micro mol kg ⁻¹ per 10 years	1	1	1	16
phosphate	2007	2021	1.58 ± 0.04	-0.013 ± 0.002	micro mol kg ⁻¹ per 10 years	-0.13 ± 0.03	0.03	0.06	1
oxygen	2007	2021	157.1 ± 0.3	-0.46 ± 0.11	micro mol kg ⁻¹ per 10 years	-4.6 ± 1.4	1.4	-6.6	-106
Temperature	2007	2021	1.582 ± 0.041	0.0015 ± 0.0077	deg. K per 10 years				
salinity	2007	2021	34.689 ± 0.0004	-0.0011 ± 0.0001	g kg ⁻¹ per 10 years				

*: ratio between silicate and nitrate concentrations in this interested region in 2021

57

トレンドを除くと15年程度の変動があるかもしれない:あと15年したらわかるはず



58

これまでに分かったこと：栄養塩のみ

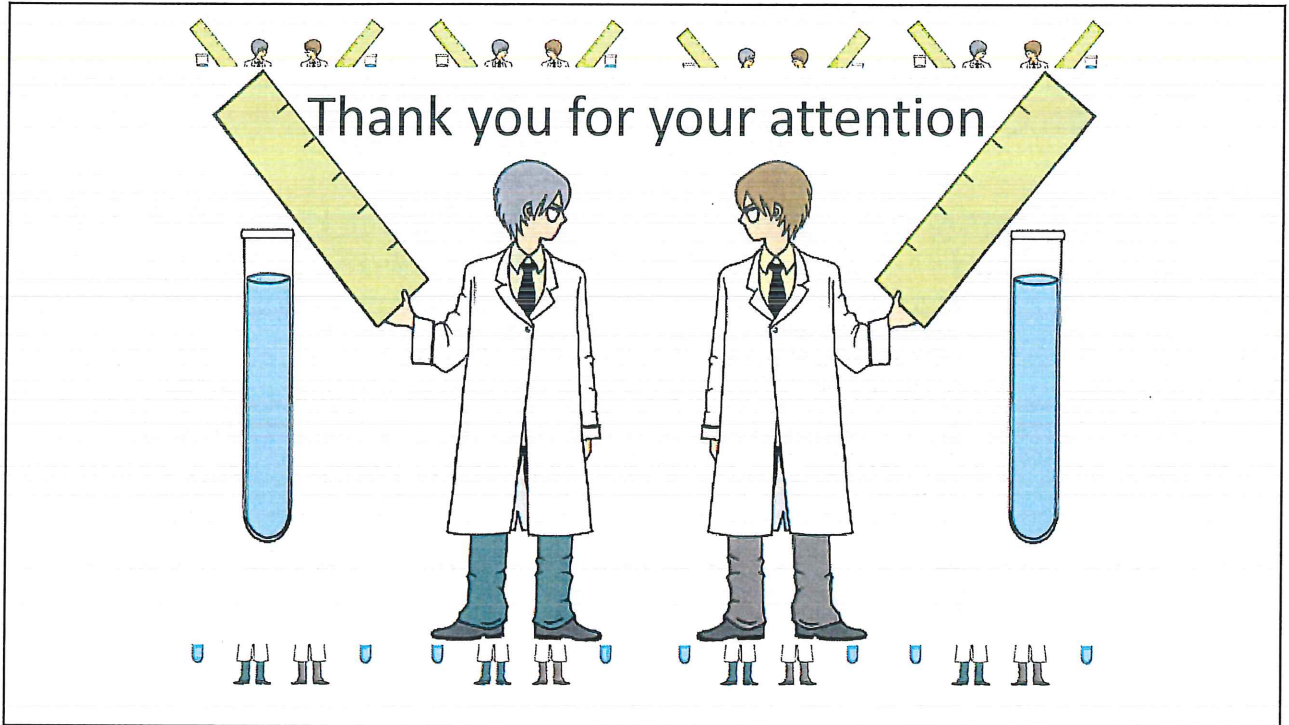
- ・認証標準物質をつかい、かつ分析の繰り返し精度を上げて比較可能性が確保されたデータを一定時間以上継続的(断続的)に取得すれば、変動の有無やその大きさを科学(統計学と海洋物理学の組み合わせ)として議論できることを実証しつつある。
- ・JAMSTEC2007, 0214, 2021および気象庁2011–2020の毎年のデータを使い、北緯47度東経165度の交点半径150km程度内の海底直上では、硝酸塩とケイ酸塩の増加とそれと化学量論的に釣り合う溶存酸素量の減少が見いだされた。溶存酸素量の減少傾向はすでに報告されているとの整合的である。さらに硝酸塩とリン酸塩の比は増加傾向であった。

59

謝辞

- ・ここには書ききれないほどの、多くの国内外のこれまでに栄養塩標準の確立に協力してくださった多くの方々に感謝します。
- ・気象庁とJAMSTEC/MWJの貢献に感謝
- ・作り続けているKANSOテクノスの貢献に感謝
- ・SIT一レサブルになる道をつけてくれたNMUJの貢献に感謝
- ・IOC-UNESCO、SCORおよびIOCCPの支持と支援に感謝

60



最近のトピックスから

一般財団法人化学物質評価研究機構
四角目 和広

1. 新規 JCSS 標準物質の整備

令和4年度第1回計量行政審議会 計量標準部会が、令和4年6月2日に対面とWEBによるハイブリッド方式により経済産業省で開催されました。

「計量法第135条第1項の規定による特定標準器による校正等の実施」について審議され、「揮発性有機化合物14種混合標準ガス」とび「チタン標準液」が新たに JCSS 標準物質として供給されることとなりました。

揮発性有機化合物14種混合標準ガスは、土壤汚染対策法で使用される標準ガスですが、

2016年及び2019年の法改正により JCSS での供給が必要となったものです。

また、チタンは、様々な産業分野で用いられる重要な産業材料として、その濃度を適切に評価することが求められ、そのため国際単位系にトレーサブルなチタン標準液の供給が必要となったものです。

実用標準物質の供給までには、もう少し時間が必要ですが、今後供給が開始される見込みです。

詳細は、以下 URL をご参照ください。

https://www.meti.go.jp/shingikai/keiryogyoseishin/keiryo_hyojun/2022_001.html

編集後記

つい数週間ほど前までは、社会生活も少しあはコロナ前の状態に戻りつつあったように感じていましたが、新型コロナウイルス感染症の再拡大の兆しがあり、第7波とも囁かれているようです。本誌をお届けする頃にどのようになっているか、気になるところです。

皆さま いかがお過ごしでしょうか。会報第92号をお届けいたします。

本号では、3月24日に開催されました令和3年度 標準物質協議会講演会の資料を掲載しました。諸事情により、当日ご参加いただけなかった会員の皆様方にも当日のご講演内容をお知らせいたします。誌面の都合で、今号は、青山様のご講演資料を掲載しました。青山様のご講演は、海洋の長期観測に関する内容ですが、

そのデータから何が読み取れるかなど、大変興味深いものでした。観測で用いられる計測標準とその重要性、標準物質の現状などの紹介もあり、大変興味深いご講演でした。

町田様のご講演については、誌面の都合で次号掲載予定とさせていただきますが、最近、特に話題となっております温室効果ガスの現状について詳しくご紹介いただき、大変興味深い内容でした。

皆様方のご協力によりまして第92号を発行することができました。引き続き、皆様からのご寄稿をいただきたく、よろしくお願い申し上げます。

(四角目)



(グラジオラス 埼玉県宮代町)

〒345-0043

埼玉県北葛飾郡杉戸町下高野 1600 番地
一般財団法人化学物質評価研究機構内

標準物質協議会 事務局 四角目和広

Tel. 0480-37-2601 Fax. 0480-37-2521

E-mail shikakume-kazuhiro@ceri.jp